



# Les Whispering Gallery Modes pour la mesure de déformation

Y.Lecieux<sup>1</sup>, D.Leduc<sup>1</sup>, C.Guigot<sup>1</sup>, M.François<sup>1</sup>, C.Lupi<sup>1</sup>

<sup>1</sup>GeM - Institut de Recherche en Génie Civil et Mécanique - UMR 6183 - Université de Nantes - CNRS - École Centrale de Nantes

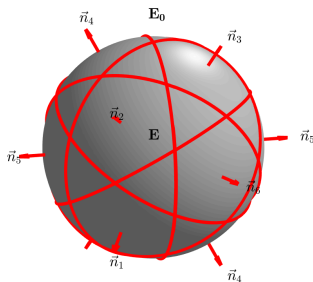
Webinar Whispering Gallery Modes

Restitution des travaux du pari scientifique régional : Sentinelle à Modes de Galerie (SMOG)

22 juin 2021



# Objectif de l'étude



## Relation à établir :

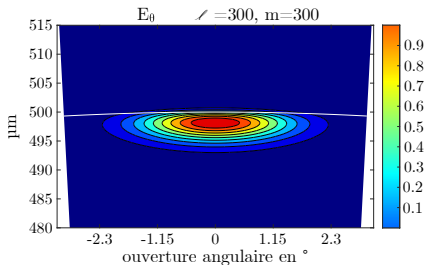
L'objectif est d'obtenir une relation (1) telle que :

$$E_{kl} = f(\Delta \lambda_i / \lambda_i), \quad i \in 1..6, \quad k \in 1..3, \quad l \in 1..3 \quad (1)$$

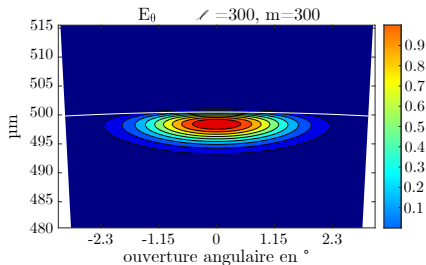
et la linéariser pour obtenir une équation matricielle (2) de la forme :

$$\{\mathbf{E}\} = [\mathbf{M}]^{-1} \{\Delta \lambda_i / \lambda_i\} \quad (2)$$

# Hypothèse



(a)



(b)

## Existence du mode :

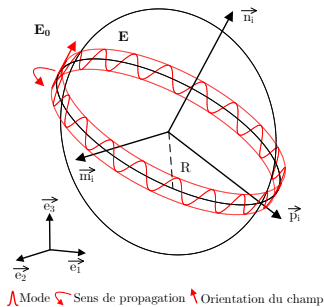
Un mode continue d'exister quand la sphère se déforme

# Méthodologie de l'étude



- Étude de la relation décalage de WGM et déformation pour un mode ;
- Linéarisation avec formulation d'hypothèses simplificatrices ;
- Étude de la validité des approximations ;
- Généralisation des relations à six modes ;
- Étude des performances du capteur.

# Relation décalage de WGM, géométrie et indice

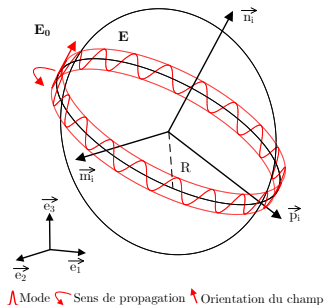


## Décalage de WGM (Ilchenko et al. 1998) :

$$\frac{\Delta \lambda_j}{\lambda_j} = \frac{\Delta L_j}{L_j} + \frac{\Delta n}{n} - \frac{\ell - m}{2\ell} \Delta(e_i)^2 \quad (3)$$

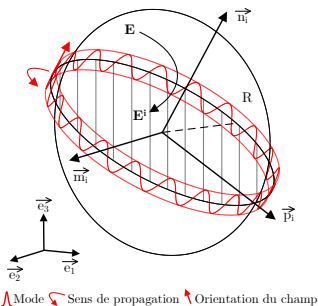


# Relation $\frac{\Delta L_i}{L_i} = f(E)$



## Étude de la contribution géométrique au décalage de WGM :

$$\frac{\Delta \lambda_i}{\lambda_i} = \frac{\Delta L_i}{L_i} + \frac{\Delta n}{n} \quad (4)$$

Projection de  $\mathbf{E}$  sur le plan de normale  $\vec{n}_i$ 

$$\mathbf{E} = \begin{bmatrix} E_{pq} \\ \end{bmatrix}_{(\vec{e}_1, \vec{e}_2, \vec{e}_3)} \Rightarrow \mathbf{E}^i = \begin{bmatrix} \bar{E}_{11} & \bar{E}_{12} \\ \bar{E}_{12} & \bar{E}_{22} \end{bmatrix}_{(\vec{m}_i, \vec{p}_i)}$$

$$E_{ij}^i = P_{ip}^\perp P_{jq}^\perp E_{pq} \quad (5)$$

où  $P_{kl}^\perp$  désigne les composantes du projecteur  $\mathbf{P}[\vec{n}_i^\perp]$  sur le plan de normale  $\vec{n}_i$  :

$$\mathbf{P}[\vec{n}_i^\perp] = \mathbf{I} - \vec{n}_i \otimes \vec{n}_i \quad (6)$$

Exemple : projection sur le plan de normale  $\vec{e}_3$ 

$$\mathbf{P}^{[\vec{e}_3^\perp]} = \mathbf{I} - \vec{e}_3 \otimes \vec{e}_3 = \begin{bmatrix} 1 & 0 & 0 \\ 0 & 1 & 0 \\ 0 & 0 & 1 \end{bmatrix} - \begin{bmatrix} 0 \\ 0 \\ 1 \end{bmatrix} \begin{bmatrix} 0 & 0 & 1 \end{bmatrix} = \begin{bmatrix} 1 & 0 & 0 \\ 0 & 1 & 0 \\ 0 & 0 & 0 \end{bmatrix}$$

$$\mathbf{E}^{[\vec{e}_3^\perp]} = \mathbf{P}^{[\vec{e}_3^\perp]} \mathbf{E} (\mathbf{P}^{[\vec{e}_3^\perp]})^T = \begin{bmatrix} \bar{E}_{11} & \bar{E}_{12} & 0 \\ \bar{E}_{12} & \bar{E}_{22} & 0 \\ 0 & 0 & 0 \end{bmatrix}$$





# Déformation d'un cercle décrit par le WGM

Si  $(\vec{m}_i, \vec{p}_i)$  coïncident avec les directions principales de  $E^i$  :

$$E^i = \begin{bmatrix} \bar{E}_{11} & \bar{E}_{12} \\ \bar{E}_{12} & \bar{E}_{22} \end{bmatrix}_{(\vec{m}_i, \vec{p}_i)}, \quad E^i = \begin{bmatrix} \bar{E}_I^i & 0 \\ 0 & \bar{E}_{II}^i \end{bmatrix}_{(\vec{m}_i, \vec{p}_i)} \quad (7)$$

$$\vec{u} \begin{vmatrix} \bar{E}_I^i x \\ \bar{E}_{II}^i y \end{vmatrix}_{(\vec{m}_i, \vec{p}_i)} \quad \vec{X} \begin{vmatrix} X = (1 + \bar{E}_I^i)x \\ Y = (1 + \bar{E}_{II}^i)y \end{vmatrix}_{(\vec{m}_i, \vec{p}_i)} \quad (8)$$

Les points, initialement sur le cercle, obéissent à l'équation 9 :

$$x^2 + y^2 = R^2 \quad (9)$$

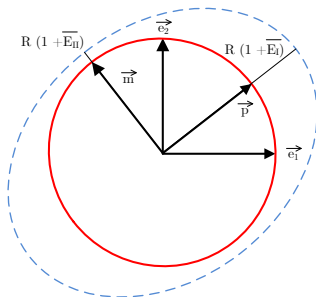
À partir de l'équation 8, il vient :

$$\frac{X^2}{(1 + \bar{E}_I^i)^2} + \frac{Y^2}{(1 + \bar{E}_{II}^i)^2} = R^2 \quad (10)$$

c'est l'équation d'une ellipse d'axes de longueur  $a = R(1 + \bar{E}_I^i)$  et  $b = R(1 + \bar{E}_{II}^i)$



# Périmètre de l'ellipse



Formule exacte :

$$\mathcal{P} = 4 \int_0^{\frac{\pi}{2}} \sqrt{a^2 \cos^2(t) + b^2 \sin^2(t)} dt$$



# Approximation du périmètre de l'ellipse

## Approximation d'Euler :

$$L + \Delta L_i \approx \pi \sqrt{2(a^2 + b^2)}$$

## Linéarisation au premier ordre en déformation :

$$\begin{aligned}
 L + \Delta L_i &= \sqrt{2}\pi \sqrt{R^2(1 + \bar{E}_I)^2 + R^2(1 + \bar{E}_{II})^2} \\
 &\simeq 2\pi R \sqrt{1 + \bar{E}_I + \bar{E}_{II}} \\
 \frac{\Delta L_i}{2\pi R} &\simeq \frac{\bar{E}_I + \bar{E}_{II}}{2} \\
 \frac{\Delta L_i}{2\pi R} &\simeq \frac{1}{2} \text{trace}(\mathbf{E}^i)
 \end{aligned}$$

La variation de périmètre est donnée par la trace du tenseur projeté dans le plan de normale  $\vec{n}_i$ .

# Expression en base de tenseur (Bechterew 1926, François MatSyMat 2014)



$$\begin{aligned}
 \mathbf{B}_1 &= \vec{e}_1 \otimes \vec{e}_1 \\
 \mathbf{B}_2 &= \vec{e}_2 \otimes \vec{e}_2 \\
 \mathbf{B}_3 &= \vec{e}_3 \otimes \vec{e}_3 \\
 \mathbf{B}_4 &= (\vec{e}_1 \otimes \vec{e}_1 + \vec{e}_1 \otimes \vec{e}_1) / \sqrt{2} \\
 \mathbf{B}_5 &= (\vec{e}_1 \otimes \vec{e}_1 + \vec{e}_1 \otimes \vec{e}_1) / \sqrt{2} \\
 \mathbf{B}_6 &= (\vec{e}_1 \otimes \vec{e}_1 + \vec{e}_1 \otimes \vec{e}_1) / \sqrt{2}
 \end{aligned}$$

La base est orthonormée :  $\mathbf{B}_I \mathbf{B}_J = \delta_{IJ}$

Dans cette base :  $E_J = \mathbf{E} : \mathbf{B}_J$

Le tenseur de déformation s'écrit en une matrice colonne  $\{\mathbf{E}\}$  avec :

$$\{\mathbf{E}\} = \left\{ \begin{array}{c} E_{11} \\ E_{22} \\ E_{33} \\ \sqrt{2}E_{23} \\ \sqrt{2}E_{31} \\ \sqrt{2}E_{12} \end{array} \right\}$$

# Expression en base de tenseur (Bechterew 1926, François MatSyMat 2014)

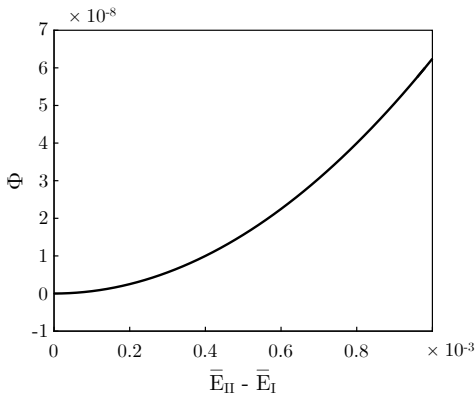


$$\Delta L_i / \pi R = \mathbf{P}^{[\vec{n}_i^\perp]} : \mathbf{E} \quad (11)$$

Cette équation correspond à un produit scalaire entre les deux tenseurs redimensionnés sous forme de vecteurs-colonne en base de Bechterew :

$$\frac{\Delta L_i}{\pi R} = \left\langle P_{11}^{i\perp} \quad P_{22}^{i\perp} \quad P_{33}^{i\perp} \quad \sqrt{2}P_{23}^\perp \quad \sqrt{2}P_{31}^{i\perp} \quad \sqrt{2}P_{12}^{i\perp} \right\rangle \begin{Bmatrix} E_{11} \\ E_{22} \\ E_{33} \\ \sqrt{2}E_{23} \\ \sqrt{2}E_{31} \\ \sqrt{2}E_{12} \end{Bmatrix} \quad (12)$$

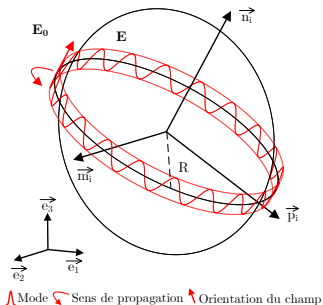
# Évaluation de l'approximation



Erreur d'approximation  $\Phi = \frac{L_{\text{Approx}} - L_{\text{Num}}}{L_{\text{Num}}}$  sur le calcul du périmètre en fonction de l'ellipticité  $\bar{E}_{II} - \bar{E}_I$ .



# Relation $\frac{\Delta n_i}{n_i} = f(E)$



## Étude de la contribution photoélastique au décalage de WGM :

$$\frac{\Delta \lambda_i}{\lambda_i} = \frac{\Delta L_i}{L_i} + \frac{\Delta n}{n} \quad (13)$$



# Effet photoélastique

Les effets photoélastiques sont décrits par la relation entre les modifications des composantes du tenseur d'imperméabilité  $\mathbf{B}$  et le tenseur de déformation  $\mathbf{E}$  telle que :

$$\Delta(B_{ij}) = p_{ijkl} E_{kl} , (i, j = 1, 2, 3) \quad (14)$$

où  $p_{ijkl}$  sont les composantes du tenseur des indices photoélastique  $\mathbb{P}^e$ . Les composantes du tenseur d'imperméabilité et celles du tenseur de réfraction  $\mathbf{n}$  notées  $n_{ij}$  sont liées par la relation suivante :

$$\Delta(B_{ij}) = \Delta \left( \frac{1}{n_{ij}^2} \right) , (i, j = 1, 2, 3) \quad (15)$$

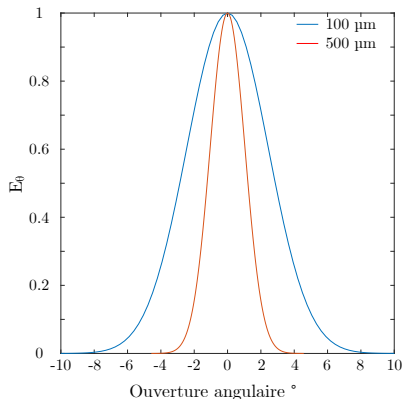
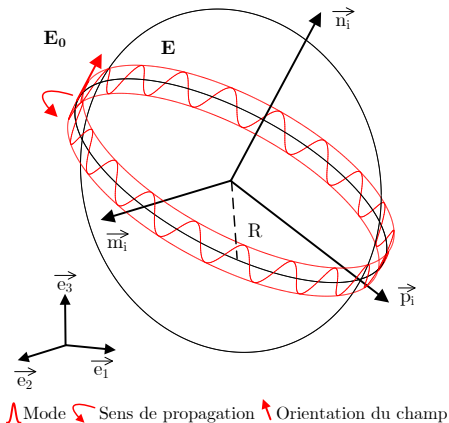
Pour un milieu homogène isotrope, ce tenseur s'exprime simplement :

$$\mathbf{n} = n\mathbf{I} \quad (16)$$

où  $n$  est l'indice de réfraction du milieu.



## Indice 'vu' par le WGM



## Hypothèse :

Le champ électrique est orienté suivant la direction  $\vec{e}_\theta$  assimilée à  $\vec{n}_i$

# Relation variation d'indice et déformation



La composante  $\Delta B^i$  du tenseur  $\Delta \mathbf{B}$  projeté suivant une direction quelconque  $\vec{n}_i$ , est donnée par :

$$\Delta B^i = \mathbf{P}^{\vec{n}_i} : \Delta \mathbf{B} = \mathbf{P}^{\vec{n}_i} : \mathbb{P}^e : \mathbf{E} \quad (17)$$

où  $\mathbf{P}^{\vec{n}_i}$  désigne le projecteur dans la direction  $\vec{n}_i$  soit :

$$\mathbf{P}^{\vec{n}_i} = \vec{n}_i \otimes \vec{n}_i \quad (18)$$

Or d'après 15 :

$$\Delta B^i = -\frac{2\Delta n^i}{(n^i)^3} \quad (19)$$

avec  $n^i$ , l'indice de réfraction dans la direction  $\vec{n}_i$  et  $\Delta n^i$  sa variation, ce qui permet d'aboutir à la relation suivante :

$$\frac{\Delta n^i}{n} = -\frac{(n)^2}{2} \mathbf{P}^{\vec{n}_i} : \mathbb{P}^e : \mathbf{E} \quad (20)$$

Exemple : projection suivant la direction  $\vec{e}_3$ 

$$\mathbf{P}^{\vec{e}_3} = \vec{e}_3 \otimes \vec{e}_3 = \begin{bmatrix} 0 \\ 0 \\ 1 \end{bmatrix} \begin{bmatrix} 0 & 0 & 1 \end{bmatrix} = \begin{bmatrix} 0 & 0 & 0 \\ 0 & 0 & 0 \\ 0 & 0 & 1 \end{bmatrix}$$

$$\Delta \mathbf{B}^{[\vec{e}_3]} = \mathbf{P}^{\vec{e}_3} : \Delta \mathbf{B} = \text{trace} \begin{bmatrix} 0 & 0 & 0 \\ 0 & 0 & 0 \\ 0 & 0 & \Delta B_{33} \end{bmatrix} = \Delta B_{33}$$

# Expression en base de tenseur (Bechterew 1926, François MatSyMat 2014)



$$\frac{\Delta n^i}{n} = -\frac{(n)^2}{2} \langle P_{kl}^i \rangle [\mathbb{P}^e] \{E_{pq}\} \quad (21)$$

avec les composantes du projecteur :

$$\langle P_{kl}^i \rangle = \langle P_{11}^i \quad P_{22}^i \quad P_{33}^i \quad \sqrt{2}P_{23}^i \quad \sqrt{2}P_{31}^i \quad \sqrt{2}P_{12}^i \rangle$$

le tenseur des indices photoélastique  $\mathbb{P}^e$  et  $\{E_{pq}\}$  les composantes du tenseurs de déformation  $\mathbf{E}$  écrites sous la forme d'un vecteur colonne :

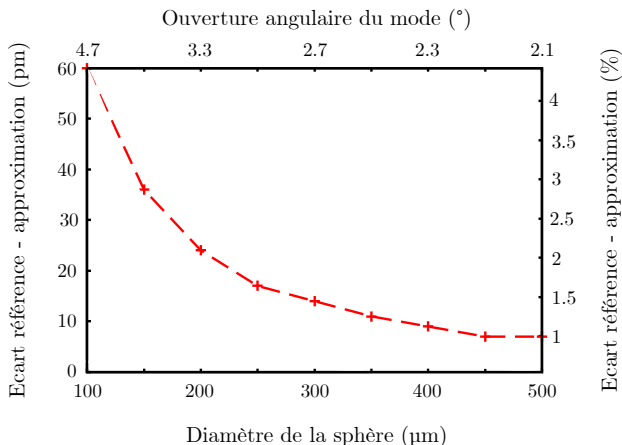
$$[\mathbb{P}^e] = \begin{bmatrix} P_{11} & P_{12} & P_{12} & 0 & 0 & 0 \\ P_{12} & P_{11} & P_{12} & 0 & 0 & 0 \\ P_{12} & P_{12} & P_{11} & 0 & 0 & 0 \\ 0 & 0 & 0 & (p_{11} - p_{12}) & 0 & 0 \\ 0 & 0 & 0 & 0 & (p_{11} - p_{12}) & 0 \\ 0 & 0 & 0 & 0 & 0 & (p_{11} - p_{12}) \end{bmatrix}, \{E_{pq}\} = \begin{Bmatrix} E_{11} \\ E_{22} \\ E_{33} \\ \sqrt{2}E_{23} \\ \sqrt{2}E_{31} \\ \sqrt{2}E_{12} \end{Bmatrix}$$



# Évaluation de l'approximation

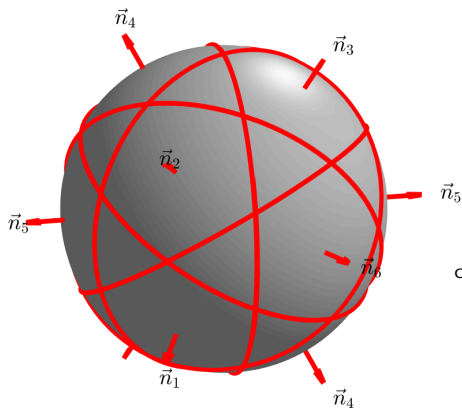
Simulation axisymétrique avec  $E_{11} = E_{22} = 1000 \cdot 10^{-6}$  dans un plan de normale  $\vec{e}_3$  :

$$\frac{\Delta \lambda}{\lambda} = E_{11} - \frac{n^2}{2} (2\rho_{12}E_{11} + \rho_{11}E_{33})$$





# Architecture du capteur à 6 anneaux



$$\begin{aligned}\vec{n}_1 &= (0, \varphi, 1)/\sqrt{2+\varphi} \\ \vec{n}_2 &= (0, \varphi, -1)/\sqrt{2+\varphi} \\ \vec{n}_3 &= (1, 0, \varphi)/\sqrt{2+\varphi} \\ \vec{n}_4 &= (1, 0, -\varphi)/\sqrt{2+\varphi} \\ \vec{n}_5 &= (\varphi, 1, 0)/\sqrt{2+\varphi} \\ \vec{n}_6 &= (\varphi, -1, 0)/\sqrt{2+\varphi}\end{aligned}$$

où  $\varphi = (1 + \sqrt{5})/2$  est le nombre d'or.



# Relation matricielle pour 6 anneaux

$$\left\{ \frac{\Delta \lambda_i}{\lambda} \right\} = \frac{[M_L] - n^2 [M_n] [IP^e]}{2} \{E_i\} = \frac{[M]}{2} \{E_i\}, i \in 1..6 \quad (22)$$

$$[M_L] = \frac{1}{2+\varphi} \begin{bmatrix} 2+\varphi & 1 & 1+\varphi & -\sqrt{2}\varphi & 0 & 0 \\ 2+\varphi & 1 & 1+\varphi & \sqrt{2}\varphi & 0 & 0 \\ 1+\varphi & 2+\varphi & 1 & 0 & -\sqrt{2}\varphi & 0 \\ 1+\varphi & 2+\varphi & 1 & 0 & \sqrt{2}\varphi & 0 \\ 1 & 1+\varphi & 2+\varphi & 0 & 0 & -\sqrt{2}\varphi \\ 1 & 1+\varphi & 2+\varphi & 0 & 0 & \sqrt{2}\varphi \end{bmatrix} \quad (23)$$

$$[M_n] = \frac{1}{(2+\varphi)} \begin{bmatrix} 0 & 1+\varphi & 1 & \sqrt{2}\varphi & 0 & 0 \\ 0 & 1+\varphi & 1 & -\sqrt{2}\varphi & 0 & 0 \\ 1 & 0 & 1+\varphi & 0 & \sqrt{2}\varphi & 0 \\ 1 & 0 & 1+\varphi & 0 & -\sqrt{2}\varphi & 0 \\ 1+\varphi & 1 & 0 & 0 & 0 & \sqrt{2}\varphi \\ 1+\varphi & 1 & 0 & 0 & 0 & -\sqrt{2}\varphi \end{bmatrix} \quad (24)$$



# Matrice M

$$[M] = \begin{bmatrix} M_1 & M_2 & M_3 & -M_4 & 0 & 0 \\ M_1 & M_2 & M_3 & M_4 & 0 & 0 \\ M_3 & M_1 & M_2 & 0 & -M_4 & 0 \\ M_3 & M_1 & M_2 & 0 & M_4 & 0 \\ M_2 & M_3 & M_1 & 0 & 0 & -M_4 \\ M_2 & M_3 & M_1 & 0 & 0 & M_4 \end{bmatrix} \quad (25)$$

avec :

$$\begin{aligned} M_1 &= 1 - n^2 p_{12} \\ M_2 &= \frac{1 - n^2 [(1 + \varphi) p_{11} + p_{12}]}{2 + \varphi} \\ M_3 &= \frac{(1 + \varphi)(1 - n^2 p_{12}) - n^2 p_{11}}{2 + \varphi} \\ M_4 &= \frac{\sqrt{2}\varphi}{2 + \varphi} [1 + n^2 (p_{11} - p_{12})] \end{aligned} \quad (26)$$



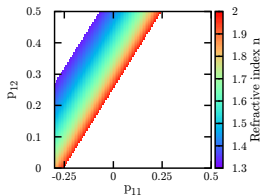
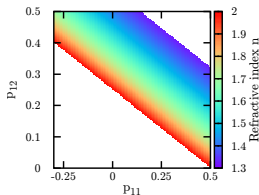


# Inversion du système

$$\{E_i\} = 2[M]^{-1} \left\{ \frac{\Delta \lambda_i}{\lambda} \right\}, \quad i \in 1..6 \quad (27)$$

$$\det([M]) = -8M_4^3(M_1^3 + M_2^3 + M_3^3 - 3M_1M_2M_3) = \frac{32\sqrt{2}\varphi^5}{(\varphi+2)^5} P_1(p_{11}, p_{12}, n)^5 P_2(p_{11}, p_{12}, n)$$

$$\begin{aligned} P_1(p_{11}, p_{12}, n) &= n^2(p_{11} - p_{12}) + 1 \\ P_2(p_{11}, p_{12}, n) &= n^2(p_{11} + 2p_{12}) - 2 \end{aligned} \quad (28)$$

(a)  $P_1$ (b)  $P_2$



# Matrice Inverse

$$[M]^{-1} = \begin{bmatrix} m_1 & m_1 & m_3 & m_3 & m_2 & m_2 \\ m_2 & m_2 & m_1 & m_1 & m_3 & m_3 \\ m_3 & m_3 & m_2 & m_2 & m_1 & m_1 \\ m_4 & -m_4 & 0 & 0 & 0 & 0 \\ 0 & 0 & m_4 & -m_4 & 0 & 0 \\ 0 & 0 & 0 & 0 & m_4 & -m_4 \end{bmatrix} \quad (29)$$

avec :

$$\begin{aligned} m_1 &= \frac{4M_4^3}{D} (M_2 M_3 - M_1^2) \\ m_2 &= \frac{4M_4^3}{D} (M_1 M_3 - M_2^2) \\ m_3 &= \frac{4M_4^3}{D} (M_1 M_2 - M_3^2) \\ m_4 &= \frac{4M_4^2}{D} (M_1^3 + M_2^3 + M_3^3 - 3M_1 M_2 M_3) \end{aligned} \quad (30)$$

## Sensibilités



$$[M] = \begin{bmatrix} M_1 & M_2 & M_3 & -M_4 & 0 & 0 \\ M_1 & M_2 & M_3 & M_4 & 0 & 0 \\ M_3 & M_1 & M_2 & 0 & -M_4 & 0 \\ M_3 & M_1 & M_2 & 0 & M_4 & 0 \\ M_2 & M_3 & M_1 & 0 & 0 & -M_4 \\ M_2 & M_3 & M_1 & 0 & 0 & M_4 \end{bmatrix}$$

- Avec  $n=1,447$ ,  $p_{11} = 0,113$ ,  $p_{12} = 0,252$ , on obtient les valeurs suivantes pour les composantes de la matrice  $[M]$  :  $M_1 = 0,472$ ,  $M_2 = -0,041$ ,  $M_3 = 0,276$   $M_4 = 0,448$ .
- Pour une longueur d'onde de l'ordre de 1500 nm, la sensibilité associée au coefficient  $M_1$  est de  $0,35 \text{ pm}/\mu\epsilon$ , celle associée au coefficient  $M_2$  de  $-0,03 \text{ pm}/\mu\epsilon$ , celle associée au coefficient  $M_3$  de  $0,21 \text{ pm}/\mu\epsilon$  et celle associée au coefficient  $M_4$  de  $0,41 \text{ pm}/\mu\epsilon$ .



# Incertitude

$$\{\Delta\lambda\}_{\text{meas}} = \{\Delta\lambda\}_{\text{th}} + \{N_{\text{oise}}\}$$

L'erreur commise sur la déformation est :

$$\{E\}_{\text{err}} = 2[M]^{-1}\{N_{\text{oise}}/\lambda\}$$

À l'aide la loi de composition classique des incertitudes :

$$\sigma(E_i) = \sqrt{\sum_{j=0}^6 \left( \frac{\partial E_i}{\partial \lambda_j} \right)^2 \sigma^2(\lambda_j)}$$

et en supposant que  $\sigma(\lambda_j) = \sigma(\lambda) \forall j$ , il vient :

$$\begin{cases} \sigma(E_i) = 2\sqrt{2(m_1^2 + m_2^2 + m_3^2)} \frac{\sigma(\lambda)}{\lambda_0} & \text{pour } i = 1, 2, 3 \\ \sigma(E_i) = 2\sqrt{2} m_4 \frac{\sigma(\lambda)}{\lambda_0} & \text{pour } i = 4, 5, 6 \end{cases}$$

$\sigma(E_i) = 1,88\sigma(\lambda)$  pour  $i = 1, 2, 3$  et  $\sigma(E_i) = 2,34\sigma(\lambda)$  pour  $i = 4, 5, 6$ .



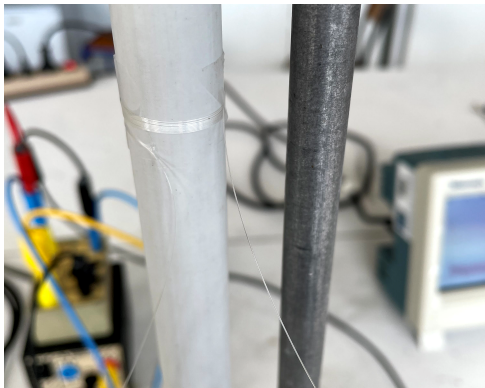
# Conclusion

- Une relation linéaire telle que  $\{E\} = [M]^{-1}\{\Delta\lambda_i/\lambda_i\}$  a été établie;
- Les approximations sont raisonnables dans la plage de déformation  $[0, 1000 \cdot 10^{-6}]$  et pour une sphère de diamètre supérieur à  $200 \mu m$ ;
- Avec un détecteur classique de résolution égale à  $1 \text{ pm}$ , l'erreur sur les composantes de déformation est, après correction des erreurs systématiques, estimée à  $2 \mu\varepsilon$ .



# Perspectives

- La technologie d'excitation des modes optiques est difficile à réaliser ;
- Une première alternative consiste à utiliser un guide d'onde collé sur une circonférence, ce qui revient à conserver la partie géométrique du système calculé précédemment ;
- Une seconde alternative consiste à générer une onde acoustique et à utiliser une fibre optique pour la détecter (travaux préliminaires en cours).



# Merci de votre attention.

